

тонкой области вблизи поверхности, профили плотности  $\rho_s$  подобны профилям  $1/T$  согласно (5.2).

Полученные асимптотические решения подтверждают и дополняют численные результаты.

#### ЛИТЕРАТУРА

1. Стулов В. П. Об уравнениях ламинарного пограничного слоя в двухфазной среде // Изв. АН СССР. МЖГ.— 1979.— № 1.
2. Осинцов А. Н. О структуре ламинарного пограничного слоя дисперсной смеси на плоской пластине // Изв. АН СССР. МЖГ.— 1980.— № 4.
3. Дейч М. Е., Филиппов Г. А. Газодинамика двухфазных сред.— М.: Энергоиздат, 1981.
4. Осинцов А. Н. Пограничный слой на затупленном теле в потоке запыленного газа // Изв. АН СССР. МЖГ.— 1985.— № 5.
5. Пейгин С. В. Гиперзвуковой пространственный вязкий ударный слой в двухфазном потоке // ПММ.— 1984.— Вып. 2.
6. Марбл Ф. Динамика запыленных газов // Механика.— 1971.— № 6.
7. Коул Дж. Методы возмущений в прикладной математике.— М.: Мир, 1972.
8. Петухов И. В. Численный расчет двумерных течений в пограничном слое // Численные методы решения дифференциальных и интегральных уравнений и квадратурные формулы.— М.: Наука, 1964.
9. Волоцук В. М. Введение в гидродинамику грубодисперсных аэрозолей.— Л.: Гидрометеопиздат, 1971.
10. Нигматулин Р. И. Основы механики гетерогенных сред.— М.: Наука, 1974.
11. Шлихтинг Г. Теория пограничного слоя.— М.: Наука, 1969.

Поступила 27/IV 1987 г.

УДК 621.01; 621.822.76

#### АСИМПТОТИЧЕСКОЕ РЕШЕНИЕ УРАВНЕНИЯ УИПЛА ГАЗОВОЙ СМАЗКИ ПРИ БОЛЬШИХ ЧИСЛАХ СЖИМАЕМОСТИ

А. Н. Бурмистров, В. П. Ковалев

(Жуковский)

Широкое применение в технике находят газодинамические опоры, позволяющие без специального наддува газа обеспечивать достаточную несущую способность. Поток газа через рабочий зазор создается путем профилирования части поверхности, прилегающей к одной из границ. Оставшаяся часть поверхности гладкая.

В предположении, что плотность канавок на профилированной части велика, при расчете можно пользоваться уравнением для осредненного давления [1]. Это уравнение в частных производных эллиптического типа, и для него ставится первая краевая задача. Однако решение обладает некоторыми свойствами, характерными для уравнений гиперболического типа, поскольку из физических соображений понятно, что расход должен в основном определяться профилированной частью.

Настоящая работа посвящена выяснению того, каким образом формируется поток газа через рабочий зазор и как влияют параметры канавок на распределение давления и нагрузки. Строится асимптотическое по параметру сжимаемости  $\Lambda$  ( $\Lambda \rightarrow \infty$ ) решение. Расход газа в пределе при  $\Lambda \rightarrow \infty$  полностью определяется параметрами канавок на входной границе и имеет в изотермическом случае порядок  $\Lambda$ ; давление в профилированной области порядка единицы. На гладкой части давление порядка  $\Lambda^{1/2}$ . Приведено сравнение несущей способности, полученной из асимптотического решения, с определенной путем прямого численного решения исходной задачи для сферической опоры.

1. Рассматривается течение газа в тонком рабочем зазоре подшипника скольжения (рис. 1), внешняя поверхность которого вращается вокруг оси симметрии подшипника с угловой скоростью  $\omega$ . Стационарное уравнение для давления в тонком слое газа (уравнение Рейнольдса) при политропическом процессе имеет вид

$$\frac{\partial}{\partial x'^1} (q'^1 V g') + \frac{\partial}{\partial x'^2} (q'^2 V g') = 0,$$

$$q'^i = \sqrt{\frac{U'^i}{g_{ii}}} h' p'^{1/\kappa} - \frac{h'^3}{12\mu} p'^{1/\kappa} \frac{\partial p'}{\partial x'^k} g'^{ik}, \quad i, k = 1, 2$$

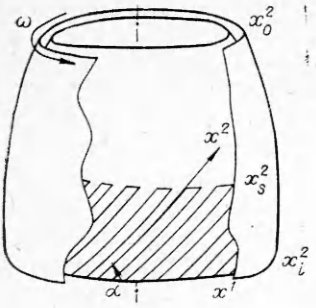


Рис. 1

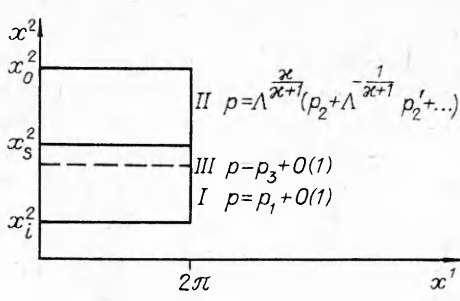


Рис. 2

(суммирование по  $k$ ). Здесь  $\kappa \geq 1$  — показатель политропы;  $U_f^i$  — физические компоненты вектора локальной скорости качения (полусуммы скоростей поверхностей);  $h'$  — толщина пленки;  $p'$  — давление;  $x'^1$  и  $x'^2$  — криволинейные координаты, определяющие положение точки на поверхностях, разделенных рабочим зазором;  $g'^{ik}$  и  $g_{ik}$  — компоненты метрического тензора в криволинейных координатах, связанных с одной из поверхностей ( $g' = g'_{11}g'_{22} - g'_{12}^2$ );  $\mu$  — динамический коэффициент вязкости. Введем характерные масштабы  $p_a$ ,  $h_0$ ,  $L_0$ ,  $U_0$  соответственно для давления, толщины, длины и скорости, а также масштабы  $L_1$ ,  $L_2$  для координат  $x'^1$  и  $x'^2$ . Перейдем к безразмерным переменным по формулам  $x'^1 = x^1 L_1$ ,  $x'^2 = x^2 L_2$ ,  $p' = pp_a$ ,  $h' = hh_0$ ,  $U_f^i = U_f^i U_0$ ,  $ds' = dsL_0$  ( $ds'$  — дифференциал размерной длины). В этих переменных исходное уравнение

$$(1.1) \quad \frac{\partial}{\partial x^1} (q^1 \sqrt{g}) + \frac{\partial}{\partial x^2} (q^2 \sqrt{g}) = 0,$$

$$q^i = \Lambda \frac{U_f^i}{\sqrt{g_{ii}}} h p^{1/\kappa} - h^3 p^{1/\kappa} \frac{\partial p}{\partial x^i} g^{ik},$$

где  $g_{ik} = \frac{L_i L_k}{L_0^2} g_{ik}$ ,  $g^{ik} = \frac{L_0^2}{L_i L_k} g'^{ik}$ ;  $g = g_{11}g_{22} - g_{12}^2$ ;  $\Lambda = 12\mu L_0 U_0 / (h_0^2 p_a)$  — число скимаемости.

Для увеличения давления в зазоре часть одной из поверхностей профилируют, создавая на ней канавки. Часть поверхности, занятой канавками, на рис. 1 заштрихована. Предположим, что канавки выполнены на внутренней (неподвижной) поверхности. В [1] асимптотическим методом двухмасштабных разложений, аналогичным методу [2], получено уравнение Уиппла для осредненного по канавкам давления:

$$(1.2) \quad \frac{\partial}{\partial x^1} (\langle q^1 \rangle \sqrt{g}) + \frac{\partial}{\partial x^2} (\langle q^2 \rangle \sqrt{g}) = 0,$$

$$\langle q^i \rangle = \Lambda p^{1/\kappa} A^i - p^{1/\kappa} \frac{\partial p}{\partial x^i} G^{ik}, \quad A^1 = \frac{U_f^1}{\sqrt{g_{11}}} \frac{\langle h^{-2} \rangle}{\langle h^{-3} \rangle},$$

$$A^2 = \frac{U_f^2}{\sqrt{g_{22}}} \langle h \rangle + \frac{U_f^1}{\sqrt{g_{11}}} \frac{\langle h^{12} \rangle}{\langle h^{-3} \rangle} \left( \frac{\langle h^{-2} \rangle}{\langle h^{-3} \rangle} - \langle h \rangle \right), \quad G^{11} = \frac{g^{11}}{\langle h^{-3} \rangle}, \quad G^{12} = G^{21} = \frac{g^{12}}{\langle h^{-3} \rangle},$$

$$G^{22} = g^{22} \langle h^3 \rangle - \frac{(\langle h^{12} \rangle)^2}{\langle h^{-3} \rangle} \left( \langle h^3 \rangle - \frac{1}{\langle h^{-3} \rangle} \right).$$

Здесь  $\langle y \rangle$  — осредненное по канавкам (точнее, по быстрой координате, направленной поперец канавок) значение  $y$ . При выводе уравнения (1.2) система координат выбрана таким образом, что ось  $x^2$  направлена вдоль канавок.

Для подшипника скольжения, изображенного на рис. 1,  $U_f^2 = 0$ ,  $U_f^1 > 0$ ,  $g_{12} > 0$  (а следовательно,  $g^{12} < 0$ ). Границные условия для (1.2):

$p|_{x^2=x_i^2} = p^i(x^1)$ ,  $p|_{x^2=x_0^2} = p^0(x^1)$ ,  $p(\hat{0}, x^3) = p(2\pi, x^2)$ . На границе  $x^2 = x_s^2$ , разделяющей гладкую и профилированную области, ставится условие непрерывности давления и нормальной к границе составляющей расхода, последнее эквивалентно непрерывности  $\langle q^2 \rangle$ . Вся область, занятая смазкой, определяется неравенствами  $0 \leq x^1 \leq 2\pi$ ,  $x_i^2 \leq x^2 \leq x_0^2$ .

В [1, 3] приведено решение уравнения (1.1) при  $\Lambda \rightarrow \infty$ . Построим методом сращиваемых асимптотических разложений [4] решение задачи для уравнения (1.2) при  $\Lambda \rightarrow \infty$ . Разобьем область решения (рис. 2) на три подобласти. Предположим, что в областях I и III давление имеет порядок 1, а в области II — порядок  $\Lambda^{\kappa/(\kappa+1)}$ . Степень  $\kappa/(\kappa+1)$  получается из условия равенства порядков  $\langle q^2 \rangle$  в областях II и III. Предположим, что ширины областей I и II — величины порядка единицы, а область III имеет характер погранслоя и ее ширина асимптотически мала.

Рассмотрим область I. Подставим разложение  $p = p_1(x^1, x^2) + o(1)$  в уравнение (1.2) и, учитывая, что размер этой области порядка единицы, в главном получим

$$(1.3) \quad \frac{\partial}{\partial x^1} (\bar{V}_g A^1 p_1^{1/\kappa}) + \frac{\partial}{\partial x^2} (\bar{V}_g A^2 p_1^{1/\kappa}) = 0.$$

В области III введем внутреннюю переменную  $\eta = \Lambda(x^2 - x_s')$ , где  $x_s'$  —  $x^2$ -координата некоторой точки, лежащей в области III. Уравнение для давления в этой области есть

$$(1.4) \quad \frac{\partial}{\partial \eta} \left[ A^2(x^1, x_s^2) p_3^{1/\kappa} - G^{22}(x^1, x_s^2) p_3^{1/\kappa} \frac{\partial p_3}{\partial \eta} \right] = 0.$$

Интегрируя его, находим решение в квадратурах

$$(1.5) \quad \int_{p_3^0}^{p_3} \frac{dz}{1 - z^{-1/\kappa} f_3/A^2} = \frac{A^2(x^1, x_s^2)}{G^{22}(x^1, x_s^2)} \eta,$$

где  $f_3$  — константа интегрирования уравнения (1.4) по  $\eta$ ,  $p_3^0 = p_3|_{\eta=0}$ . При  $\eta \rightarrow -\infty$  решение (1.5) должно в силу сращивания стремиться к предельному значению  $p_1(x^1, x_s^2)$ . Из (1.5) видно, что это возможно только при  $f_3 = A^2(x^1, x_s^2) p_1^{1/\kappa}(x^1, x_s^2)$ , в этом случае интеграл в левой части является расходящимся при  $p_3 = p_1(x^1, x_s^2)$ . Поскольку  $p_1 > 0$ , а  $A^2 > 0$  (это неравенство будет доказано ниже), то  $f_3 > 0$ . При  $\eta = \eta_s = \Lambda(x_s^2 - x_s')$  выполняется условие непрерывности давления, т. е.

$$(1.6) \quad p_3(x^1, \eta_s) = \Lambda^{\kappa/(\kappa+1)} p_2(x^1, x_s^2).$$

Главная часть интеграла (1.5) при больших значениях  $p_3$  равна  $p_3$ . Поэтому из (1.5), (1.6) вытекает, что  $\eta_s = \Lambda^{\kappa/(\kappa+1)} \frac{G^{22}(x^1, x_s^2)}{A^2(x^1, x_s^2)} p_2(x^1, x_s^2) + o(\Lambda^{\kappa/(\kappa+1)})$  и в переменных погранслоя начало области II уходит в  $+\infty$ . Из (1.4) следует сохранение компоненты вектора расхода  $\langle q^2 \rangle$  в погранслое, а из (1.2) и (1.4)  $\langle q^2 \rangle = \Lambda A^2 p_1^{1/\kappa}(x^1, x_s^2) + o(\Lambda)$ .

В области II, где отсутствуют канавки, задача ставится следующим образом. Необходимо решить уравнение (1.1) (которое можно формально получить из (1.2) подстановкой  $\langle y \rangle = y$ ) с указанными выше условиями на границах  $x^2 = x_0^2$ ,  $x^1 = 0$ ,  $x^1 = 2\pi$  и с заданной составляющей вектора расхода  $\langle q^2 \rangle$  на границе  $x^2 = x_s^2$ :

$$-\Lambda h^3 p_2^{1/\kappa} \left( g^{21} \frac{\partial p_2}{\partial x^1} + g^{22} \frac{\partial p_2}{\partial x^2} \right) \Big|_{x^2=x_s^2} = \Lambda A^2 p_1^{1/\kappa} \Big|_{x^2=x_s^2} + o(\Lambda).$$

Подставляя разложение давления в области  $II$  в (1.1) и учитывая граничные условия, получим задачу для  $p_2$ :

$$(1.7) \quad \frac{\partial}{\partial x^1} \left( \frac{\sqrt{g} U_f^1}{\sqrt{g_{11}}} h p_2^{1/\kappa} \right) = 0,$$

$$- h^3 p_2^{1/\kappa} \left( g^{21} \frac{\partial p_2}{\partial x^1} + g^{22} \frac{\partial p_2}{\partial x^2} \right) \Big|_{x^2=x_s^2} = A^2(x^1, x_s^2) p_1^{1/\kappa}(x^1, x_s^2),$$

$$p_2'(0, x^2) = p_2(2\pi, x^2), \quad p_2(x^1, x_0^2) = 0.$$

Из первого уравнения имеем

$$(1.8) \quad p_2 = \left( \frac{f_0(x^2) \sqrt{g_{11}}}{U_f^1 h \sqrt{g}} \right)^\kappa,$$

где  $f_0(x^2)$  — неизвестная функция. Для ее определения рассмотрим полученное из (1.1) уравнение относительно  $p_2'$ :

$$(1.9) \quad \frac{\partial}{\partial x^1} \left[ \sqrt{g} \left( \frac{U_f^1}{\kappa \sqrt{g_{11}}} h p_2^{(1-\kappa)/\kappa} p_2' - h^3 p_2^{1/\kappa} \left( g^{11} \frac{\partial p_2}{\partial x^1} + g^{12} \frac{\partial p_2}{\partial x^2} \right) \right) \right] -$$

$$- \frac{\partial}{\partial x^2} \left[ \sqrt{g} h^3 p_2^{1/\kappa} \left( g^{21} \frac{\partial p_2}{\partial x^1} + g^{22} \frac{\partial p_2}{\partial x^2} \right) \right] = 0.$$

Интегрируя его по  $x^1$  и используя условие  $p_2'(0, x^2) = p_2'(2\pi, x^2)$ , находим

$$(1.10) \quad - \int_0^{2\pi} \sqrt{g} h^3 p_2^{1/\kappa} \left( g^{21} \frac{\partial p_2}{\partial x^1} + g^{22} \frac{\partial p_2}{\partial x^2} \right) dx^1 = C.$$

Из второго соотношения (1.7) следует

$$(1.11) \quad C = \int_0^{2\pi} \sqrt{g(x^1, x_s^2)} A^2(x^1, x_s^2) p_1^{1/\kappa}(x^1, x_s^2) dx^1.$$

Используя формулы (1.8) и (1.10), получаем обыкновенное дифференциальное уравнение для неизвестной функции  $f_0$ :

$$(1.12) \quad A \frac{df_0^{\kappa+1}}{dx^2} + B f_0^{\kappa+1} = -C,$$

$$A(x^2) = \frac{\kappa}{\kappa+1} \int_0^{2\pi} h^3 \sqrt{g} g^{22} \left( \frac{\sqrt{g_{11}}}{\sqrt{g} U_f^1 h} \right)^{\kappa+1} dx^1,$$

$$B(x^2) = \kappa \int_0^{2\pi} \frac{h^2 \sqrt{g_{11}}}{U_f^1} \left( \frac{\sqrt{g_{11}}}{\sqrt{g} U_f^1 h} \right)^{\kappa-1} \left[ g^{21} \frac{\partial}{\partial x^1} \left( \frac{\sqrt{g_{11}}}{\sqrt{g} U_f^1 h} \right) + g^{22} \frac{\partial}{\partial x^2} \left( \frac{\sqrt{g_{11}}}{\sqrt{g} U_f^1 h} \right) \right] dx^1.$$

Решением (1.12), удовлетворяющим четвертому условию (1.7), является

$$f_0^{\kappa+1} = -C \int_{x_0^2}^{x^2} \frac{1}{A} \exp \left( \int_{x_0^2}^{x^{2'}} \frac{B}{A} dx^{2''} \right) dx^{2'} \exp \left( - \int_{x_0^2}^{x^2} \frac{B}{A} dx^{2'} \right).$$

Таким образом, давление в области  $II$  в главном определяется формулой

$$(1.13) \quad p = \Lambda^{\kappa/(\kappa+1)} \left( \frac{V_{g_{11}}}{V_g U_1 h} \right)^{\kappa} \left[ \int_0^{2\pi} \sqrt{g(x^1, x_s^2)} A^2(x^1, x_s^2) \times \right. \\ \times p_1^{1/\kappa}(x^1, x_s^2) dx^1 \left. \right]^{\kappa/(\kappa+1)} \left( \int_{x_0^2}^{x^2} \frac{1}{A} \exp \left( \int_{x_0^2}^{x^{2'}} \frac{B}{A} dx^{2''} \right) dx^{2'} \right)^{\kappa/(\kappa+1)} \times \\ \times \left[ \int_{x_0^2}^{x^2} \frac{1}{A} \exp \left( \int_{x_0^2}^{x^{2'}} \frac{B}{A} dx^{2''} \right) dx^{2'} \right]^{\kappa/(\kappa+1)}.$$

Заметим, что в главном приближении не потребовалось рассмотрение пограничного слоя на границе  $x^2 = x_0^2$ , поскольку внешнее решение удовлетворило граничному условию.

В выражение (1.13) входит величина  $p_1(x^1, x_s^2)$ , которая определяется из решения уравнения (1.3) с граничным условием на давление, поставленным на границе  $x^2 = x_i^2$ . Тот факт, что пограничный слой в профилированной области возникает не на границе  $x^2 = x_i^2$ , — прямое следствие неравенства  $A^2 > 0$ . Действительно, предположим, что пограничный слой образуется на границе  $x^2 = x_i^2$ . Тогда будет выполняться соотношение (1.5) с тем лишь отличием, что срашивание происходит при  $\eta \rightarrow +\infty$ .

Подставляя значение  $f_3$  и дифференцируя (1.5), получим  $\frac{dp_3}{d\eta} = \frac{A^2}{G^{22}} \times$

$\times \frac{p_3^{1/\kappa} - p_1^{1/\kappa}}{p_3^{1/\kappa}}$ . Срашивание значения  $p_3$  со значением  $p_1$  при  $\eta \rightarrow +\infty$

возможно только в случае  $p_3 = p_1$ , поскольку отличие  $p_3$  от  $p_1$  при некотором  $\eta$  приводит к тому, что оно будет неограниченно нарастать в бесконечности. Таким образом, срашивание возможно только при  $\eta \rightarrow -\infty$  и именно это привело к тому, что пограничный слой образовался на границе  $x^2 = x_s^2$ .

2. Докажем неравенство  $A^2 > 0$ . Среднее значение  $y$  находится в результате осреднения  $(\langle y \rangle = \lim_{Y \rightarrow \infty} \int_0^Y \frac{1}{Y} y d\xi)$  по быстрой переменной  $\xi$ . Докажем, что для строго положительной функции  $y(\xi)$ , где  $\xi \in [0, 1]$ , выполняется неравенство

$$(2.1) \quad Q = \gamma\beta \left( \int_0^1 y^{\gamma+\beta} d\xi - \int_0^1 y^\gamma d\xi \int_0^1 y^\beta d\xi \right) \geq 0.$$

Преобразуем левую часть его к виду  $Q = \gamma\beta \int_0^1 \int_0^1 (y^{\gamma+\beta}(\xi) - y^\gamma(\xi)y^\beta(\zeta)) \times d\xi d\zeta$ . В полученном выражении меняем местами переменные интегрирования и складываем два выражения:

$$Q = \frac{\gamma\beta}{2} \int_0^1 \int_0^1 [-y^\gamma(\xi)y^\beta(\zeta) - y^\gamma(\zeta)y^\beta(\xi) + y^{\gamma+\beta}(\xi) + y^{\gamma+\beta}(\zeta)] d\xi d\zeta.$$

Заметим, что подынтегральная функция равна  $[y^\gamma(\xi) - y^\gamma(\zeta)][y^\beta(\xi) - y^\beta(\zeta)]$ . Ее знак совпадает со знаком произведения  $\gamma\beta$ . Неравенство (2.1) тем самым доказано. Проведя несложные преобразования, получим

$$(2.2) \quad (\langle y^{\gamma+\beta} \rangle - \langle y^\gamma \rangle \langle y^\beta \rangle) \gamma\beta \geq 0.$$

Если предположить дополнительно  $y$  периодической кусочно-непрерывной функцией с ненулевымносителем, то можно показать, что при  $\gamma\beta \neq 0$  в (2.2) имеет место строгое неравенство. Это предположение выполняется для профилей толщины пленки  $h(\xi)$ .

Таким образом, полагая  $\gamma = 1$ ,  $\beta = -3$ , находим  $\langle h^{-2} \rangle / \langle h^{-3} \rangle - \langle h \rangle < 0$ , а следовательно,  $A^2 > 0$ .

3. Построим решение для сферической опоры со спиральными канавками при чисто осевом смещении, т. е. в случае  $\partial/\partial x^1 = 0$ . Обозначим радиус опоры  $R$ , угловую скорость ее вращения  $\omega$ . Пусть  $\theta$  — угол, отсчитываемый от положительного направления оси вращения, а  $\varphi$  — длина, отсчитываемая в направлении вращения. Канавка наклонена к широте под углом  $\alpha > 0$ .

Введем  $\lambda = \ln |\operatorname{tg}(\theta/2)|$ , тогда линия, направленная вдоль канавки, имеет уравнение  $\varphi + \lambda \operatorname{ctg} \alpha = \text{const}$ .

Введем  $x^2 = -\lambda$ ,  $x^1 = \varphi + \lambda \operatorname{ctg} \alpha$ . Положим  $L_i = 1$ ,  $i = 1, 2$ ,  $L_0 = R$ ,  $U_0 = R\omega/2$ , тогда  $U_f^1 = 1/\operatorname{ch} x^2$ . Пусть давление на границах  $x^2 = x_i^2$ ,  $x^2 = x_0^2$  равно атмосферному  $p_a$ , тогда  $p^i(x^1) = p^0(x^1) = 1$ .

Имеют место следующие соотношения:

$$(3.1) \quad g_{ik} = \frac{1}{\operatorname{ch}^2 x^2} \begin{pmatrix} 1 & \operatorname{ctg} \alpha \\ \operatorname{ctg} \alpha & \frac{1}{\sin^2 \alpha} \end{pmatrix}, \quad g^{ih} = \operatorname{ch}^2 x^2 \begin{pmatrix} \frac{1}{\sin^2 \alpha} & -\operatorname{ctg} \alpha \\ -\operatorname{ctg} \alpha & 1 \end{pmatrix},$$

$$g = 1/(\operatorname{ch}^4 x^2), \quad \operatorname{ch}^{-1} \lambda = \sin \theta.$$

Из (1.3) вытекает, что  $\sqrt{g} A^2 p_1^{1/\kappa} = \sqrt{g(x_i^2)} A^2(x_i^2)$ . Переменная  $x^1$  здесь и далее опускается.

Величина, входящая в правую часть второго соотношения (1.7), равна  $A^2(x_s^2) p_1^{1/\kappa}(x_s^2) = A^2(x_i^2) \sqrt{\frac{g(x_i^2)}{g(x_s^2)}}$ . Для  $A(x^2)$ ,  $B(x^2)$ , входящих в (1.12), получены выражения

$$A(x^2) = \frac{2\pi\kappa}{\kappa+1} (\operatorname{ch} x^2)^{2\kappa+2} (h(x^2))^{2-\kappa},$$

$$B(x^2) = -2\pi\kappa h^2 \operatorname{ch}^2 x^2 \left( \frac{\operatorname{ch}^2 x^2}{h} \right)^{\kappa+1} \frac{d}{dx^2} (h \operatorname{ch}^{-2} x^2),$$

$$\frac{B}{A}(x^2) = -(\kappa+1) \frac{d}{dx^2} \left[ \ln \left( \frac{h}{\operatorname{ch}^2 x^2} \right) \right],$$

$$\int_{x_0^2}^{x^2} \frac{1}{A} \exp \left( \int_{x_0^2}^{x^2} \frac{B}{A} dx^{2''} \right) dx^{2'} = \frac{\kappa+1}{2\pi\kappa} \left( \frac{h(x_0^2)}{\operatorname{ch}^2 x_0^2} \right)^{\kappa+1} \int_{x_0^2}^{x^2} \frac{dx^2}{h^3(x^2)}.$$

Давление в гладкой части определяется формулой

$$(3.2) \quad p = \Lambda^{\kappa/(\kappa+1)} \left[ \frac{\kappa+1}{\kappa} \sqrt{g(x_i^2)} A^2(x_i^2) \int_{x_0^2}^{x^2} \frac{dx^2}{h^3(x^2)} \right]^{\kappa/(\kappa+1)}$$

$$A^2 = \sin \alpha \cos \alpha (\langle h^{-2} \rangle / \langle h^{-3} \rangle - \langle h \rangle).$$

Таким образом, в пределе при  $\Lambda \rightarrow \infty$  несущая способность создается в основном за счет гладкой части. Наличие канавок приводит к тому, что профилированная часть затягивает поток порядка  $\Lambda$ . Гладкая же часть, из-за того что на ней отсутствует конвективное слагаемое в выражении  $q^2$ , является своего рода запором. Это и приводит к высоким давлениям порядка  $\Lambda^{\kappa/(\kappa+1)}$ .

На рис. 3 представлены полученные при расчете на ЭВМ распределения давления в сферической опоре с постоянным номинальным зазором

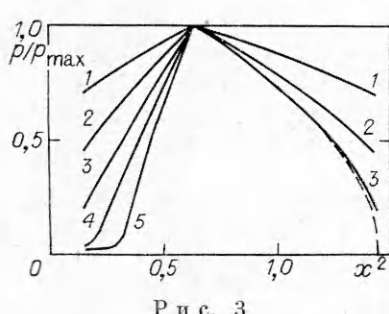
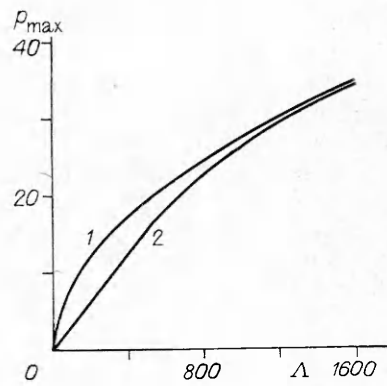


Рис. 3

Рис. 4



$h = 2 \cdot 10^{-6}$  м, радиусом сфер  $R = 9 \cdot 10^{-3}$  м,  $\alpha = 1$  (изотермическое течение),  $\alpha = 30^\circ 41'$ , глубиной канавок в профилированной части  $\Delta h = 4 \cdot 10^{-6}$  м, относительной шириной канавки 0,603,  $x_i^2 = 0,1455$ ,  $x_s^2 = 0,6344$ ,  $x_0^2 = 1,44$ . Кривые 1—5 соответствуют  $\Lambda = 13,7; 41; 136; 957; 1777$ , штриховые линии — предельное решение на гладком участке. Кривые 4, 5 на этом участке практически совпадают с предельной кривой и на рисунке отсутствуют.

Как следует из (3.2), при  $h = \text{const}$  на гладкой части  $p = \Lambda^{1/2} \times$   
 $\times \left[ \frac{\sin 2\alpha}{\cosh^2 x_i^2} \left( \langle h \rangle - \frac{\langle h^{-2} \rangle}{\langle h^{-3} \rangle} \right) \Big|_{x^2=x_i^2} \right]^{1/2} \frac{\sqrt{x_s^2 - x^2}}{h^{3/2}}$ . Видно, что давление, а следовательно, и несущая способность максимальны при  $\alpha = 45^\circ$ . Из формулы также следует, что давление  $p$  достигает наибольшего значения  $p_{\max}$  при  $x^2 = x_s^2$ .

На рис. 4 показаны две зависимости  $p_{\max}(\Lambda)$  (1 — приведенное асимптотическое решение, 2 — результат решения на ЭВМ задачи в полной постановке).

Авторы выражают благодарность М. А. Галахову за обсуждение некоторых результатов работы.

#### ЛИТЕРАТУРА

- Бурнистров А. Н., Ковалев В. П. Асимптотические методы в теории смазки: Теоретическое и экспериментальное исследование движений жидкости и газа // Межведомственный сборник.— М.: МФТИ, 1985.
- Elrod H. G. Thin-film lubrication theory for newtonian fluids with surfaces processing striated roughness or grooving // Trans. ASME. Ser. F. J. Lubric. Technol.— 1973.— V. 95, N 4. Рус. пер. Элрод. Теория тонкого смазочного слоя для ньютонаской жидкости на поверхностях с бороздчатыми шероховатостями или канавками // Проблемы трения и смазки.— 1973.— № 4.
- Котляр Я. М. Асимптотическое решение уравнений Рейнольдса // Изв. АН СССР. МЖГ.— 1976.— № 5.
- Julian D. Cole. Perturbation methods in applied mathematics.— Toronto; London: Blaisdel Publ. Company, 1968. Рус. пер. Коул Дж. Методы возмущений в прикладной математике.— М.: Мир, 1972.

Поступила 18/V 1987 г.

УДК 539.374 + 624.131

#### СТРУКТУРА УДАРНЫХ ВОЛН В ПОРИСТОМ ЖЕЛЕЗЕ ПРИ НИЗКИХ ДАВЛЕНИЯХ

B. H. Аптуков, P. K. Николаев, B. I. Романченко  
(Пермь)

Интерес к изучению поведения пористых материалов при ударном нагружении обусловлен практическим их применением при взрывном компактировании деталей [1], использованием в различных демпферах ударно-волнового воздействия [2], возвратом